

Федеральное государственное бюджетное образовательное учреждение  
высшего профессионального образования  
Московский государственный технический университет им. Н.Э. Баумана  
Факультет «Фундаментальные науки»

Лабораторная работа №1  
по курсу «Вычислительная физика»

Выполнил: студент группы ФН4-82Б  
Хижик А.И.  
Проверил: доцент, к.физ.-мат.н.  
Хасаншин Р.Х.

Москва, 2020

## Оглавление

1.	Теоретическая часть . . . . .	3
1.1.	Моделирование траекторий нейтронов и фотонов . . . . .	3
1.2.	Розыгрыш длины свободного пробега . . . . .	4
1.3.	Розыгрыш типа взаимодействия . . . . .	5
1.4.	Локальная оценка потока . . . . .	8
2.	Постановка задачи . . . . .	14
3.	Результаты вычислений . . . . .	15
4.	Вывод . . . . .	20

## 1. Теоретическая часть

### 1.1. Моделирование траекторий нейтронов и фотонов

Реализация метода Монте-Карло при решении задач переноса излучения сводится к процессу моделированию траекторий частиц в среде, который состоит из следующих основных этапов:

- Розыгрыша параметров источника;
- Розыгрыша длины свободного пробега;
- Розыгрыша типа взаимодействия;
- Розыгрыша параметров частицы после взаимодействия.

Рассмотрим более подробно отдельные этапы моделирования распространения незаряженных частиц.

#### Розыгрыш параметров источника

Моделирование траектории начинается с определения координат рождения частицы  $\vec{r}_0$ , направления ее движения  $\vec{\Omega}_0$  и энергии  $E_0$ . Для нормированной на единицу функции распределения источника

$$\int d\vec{r} \int d\vec{\Omega} \int dE q(\vec{r}, E, \vec{\Omega}) = 1$$

вероятность появления  $\vec{r}_0$  в элементе объёма  $d\vec{r}$ :

$$P(\vec{r}_0 \in d\vec{r}) = d\vec{r} \iint q(\vec{r}, E, \vec{\Omega}) dE d\vec{\Omega} = q(\vec{r}) d\vec{r}, \quad (1)$$

а так же условные вероятности попадания  $\vec{\Omega}_0$  в  $d\vec{\Omega}$

$$P(\vec{\Omega}_0 \in d\vec{\Omega} | \vec{r}_0 = \vec{r}) = \frac{\int dE q(\vec{r}, E, \vec{\Omega})}{\iint q(\vec{r}, E, \vec{\Omega}) dE d\vec{\Omega}} d\vec{\Omega} = \frac{q(\vec{r}, \vec{\Omega})}{q(\vec{r})} d\vec{\Omega} \quad (2)$$

и энергии  $E_0$  в  $dE$

$$P(E_0 \in dE | \vec{r}_0 = \vec{r}, \vec{\Omega}_0 = \vec{\Omega}) = \frac{q(\vec{r}, E, \vec{\Omega})}{\int dE q(\vec{r}, E, \vec{\Omega})} dE = \frac{q(\vec{r}, \vec{\Omega}, E)}{q(\vec{r}, \vec{\Omega})} dE. \quad (3)$$

Перемножив (1)-(3), получим

$$P(\vec{r}_0 \in d\vec{r}) P(\vec{\Omega}_0 \in d\vec{\Omega} | \vec{r}_0 = \vec{r}) P(E_0 \in dE | \vec{r}_0 = \vec{r}, \vec{\Omega}_0 = \vec{\Omega}) = q(\vec{r}, E, \vec{\Omega}) d\vec{r} dE d\vec{\Omega}, \quad (4)$$

т.е. выбрав последовательно  $\vec{r}_0, E_0, \vec{\Omega}_0$  из распределений

$$p_{\vec{r}_0}(\vec{r}) = q(\vec{r}), \quad p_{\vec{\Omega}_0}(\vec{\Omega} | \vec{r}_0) = \frac{q(\vec{r}_0, \vec{\Omega})}{q(\vec{r}_0)}, \quad p_{E_0}(E | \vec{r}_0, \vec{\Omega}_0) = \frac{q(\vec{r}_0, \vec{\Omega}_0, E)}{q(\vec{r}_0, \vec{\Omega}_0)}, \quad (5)$$

найдем совокупность случайных величин  $(\vec{r}_0, E_0, \vec{\Omega}_0)$  с распределением  $q(\vec{r}, \vec{\Omega}, E)$ . Если переменные в функции источника разделяются (независимые)

$$q(\vec{r}, E, \vec{\Omega}) = q_1(\vec{r}) q_2(E) q_3(\vec{\Omega}),$$

то соответствующие случайные величины моделируются независимо друг от друга.

Рассмотрим изотропный источник моноэнергетических частиц, равномерно распределенный по круговой подложке радиусом  $R$ , т.е. все переменные разделяются. В данном случае удобно воспользоваться полярной системой координат.

В силу симметрии, плотность вероятности вылета частиц из источника на расстоянии  $\rho$  от центра в интервале  $d\rho$  будет пропорциональна площади кольца  $f(\rho)d\rho \approx 2\pi\rho d\rho$ ,

$$f(\rho) = \frac{2\pi\rho}{\int_0^R 2\pi\rho d\rho} = \frac{2\rho}{R^2}.$$

Следовательно, функция распределения

$$F(\rho) = \int_0^\rho f(\rho') d\rho' = \frac{\int_0^\rho 2\rho' d\rho'}{R^2} = \frac{\rho^2}{R^2} = \gamma.$$

Применяя метод обратных функций, получаем  $F(\rho) = \gamma$  и  $\rho = R\sqrt{\gamma}$ . Точка вылета частицы для данного  $\rho$  равновероятно распределена на промежутке  $(0, 2\pi)$  по азимутальному углу  $\psi$ , поэтому  $f(\psi) = \frac{1}{2\pi}$  и  $F(\psi) = \int_0^\psi f(\psi') d\psi' = \frac{\psi}{2\pi} = \gamma$  откуда получаем  $\psi = 2\pi\gamma$ .

Разыграем направление вылета для изотропного источника  $f(\vec{\Omega}_0) d\vec{\Omega}_0 = \frac{d\vec{\Omega}_0}{4\pi} = \frac{d\cos\theta_0}{2} \frac{d\psi_0}{2\pi}$ , т.е. величины  $\cos\theta_0$  и  $\psi_0$  распределены независимо и равномерно в интервалах  $(-1, +1)$  и  $(0, 2\pi)$  соответственно. Применяя метод обратных функций, получаем

$$F(\cos\theta_0) = \int_{-1}^{\cos\theta_0} f(t) dt = \frac{1}{2} \int_{-1}^{\cos\theta_0} dt = \frac{\cos\theta_0 + 1}{2} = \gamma, \quad \cos\theta_0 = 2\gamma - 1.$$

Вследствие азимутальной симметрии угол  $\psi_0$  можно разыгрывать по формуле  $\psi_0 = 2\pi\gamma$ , но на практике экономичнее разыгрывать значения косинуса и синуса этого угла, потому что именно они используются для дальнейших расчётов. С помощью метода исключения косинусы и синусы моделируются как координаты единичного изотропного вектора на плоскости по схеме:

1.  $a = 1 - 2\gamma_1, \quad b = 1 - 2\gamma_2;$
2.  $d = a^2 + b^2$ , если  $d > 1$ , то возвращаемся к пункту 1, иначе – на 3;
3.  $\cos\psi_0 = \frac{a}{\sqrt{d}}, \quad \sin\psi_0 = \frac{b}{\sqrt{d}}.$

В рассмотренном примере все распределения имеют простой вид, что редко встречается на практике, поэтому выбор оптимальных алгоритмов обычно представляет собой не простою задачу.

## 1.2. Розыгрыш длины свободного пробега

Розыгрыш длины свободного пробега вдоль заданного направления  $\vec{\Omega}$  является следующим шагом после выбора параметров источника. Для однородной изотропной среды розыгрыш производим

методом обратной функции. Плотность распределения случайной величины  $L$  определяется транспортным ядром интегрального уравнения переноса. Поэтому плотность и функцию распределения длины свободного пробега в направлении  $\vec{\Omega}$  можно записать в виде

$$f_L(t) = \Sigma[\vec{r}(t), E] \exp[-\tau(t, E)],$$

$$F_L(t) = 1 - \exp[-\tau(t, E)], \quad t > 0,$$

где  $\vec{r}(t) = \vec{r}' + t\vec{\Omega}$ ;  $\tau(t, E) = \int_0^t \Sigma[\vec{r}(t'), E] dt'$ .

Получим случайную величину  $L$  для незаряженной частицы в однородной бесконечной среде, плотность распределения которой равна

$$f_L(x) = \begin{cases} \Sigma(E) \exp[-\Sigma(E)x], & x \geq 0, \\ 0, & x < 0. \end{cases}$$

Для этого решаем уравнение

$$\int_0^L f_L(x) dx = 1 - \exp[-\Sigma(E)L] = \gamma,$$

отсюда

$$L = -\frac{1}{\Sigma(E)} \ln(1 - \gamma) \text{ или } L = -\frac{1}{\Sigma(E)} \ln \gamma,$$

так как случайные величины  $\gamma$  и  $1 - \gamma$  статистически эквивалентны, то получаем выражение для розыгрыша длины свободного пробега в однородной среде

$$L = -\ln \frac{\gamma}{\Sigma(E)}.$$

### 1.3. Розыгрыш типа взаимодействия

Следующий шаг заключается в розыгрыше типа взаимодействия. Пусть полное поперечное сечение для  $i$ -го атома

$$\sigma_i = \sum_{k=1}^m \sigma_{ik},$$

где  $\sigma_{ik}$  — парциальное сечение для  $k$ -го типа взаимодействия с  $i$ -атомом. Введя дискретную случайную величину  $\eta$ , принимающую значения от 1 до  $m$  с вероятностью  $p_k = \frac{\sigma_{ik}}{\sigma_i}$ , т.е. имеющую распределение вида  $\eta = \begin{pmatrix} 1 & 2 & \dots & m \\ p_1 & p_2 & \dots & p_m \end{pmatrix}$ . Розыгрываем значения  $\eta$  и определяем тип взаимодействия на  $i$ -м атоме, по следующей схеме:

1. если  $\gamma \leq \frac{\sigma_{i1}}{\sigma_i}$ , то произошло взаимодействие 1-го типа с атомом  $k$ -го типа;
2. если  $\gamma > \frac{\sigma_{i1}}{\sigma_i}$ , то проверяется выполнение следующего неравенства

$$\frac{\sum_{k=1}^l \sigma_{ik}}{\sigma_i} < \gamma \leq \frac{\sum_{k=1}^{l+1} \sigma_{ik}}{\sigma_i}, \quad \eta = l + 1.$$

Если последнее неравенство выполняется при некотором  $l$ , то полагают, что произошло взаи-

модействие  $(l + 1)$ -го типа.

Далее мы будем рассматривать задачу переноса фотонов с учетом следующих типов взаимодействий: рассматривается комптоновское рассеяние, фотоэффект, образование электронно-позитронной пары, когерентное рассеяние и образование фотонейтронов. В таком случае полное сечение взаимодействия фотонов есть сумма сечений упомянутых выше процессов

$$\Sigma = \sigma_K + \sigma_\Phi + \sigma_n + \sigma_{el} + \sigma_{\gamma,n},$$

Параметры после столкновения включают энергию и направление движения рассеянной первичной частицы, а также тип, число, энергию и направление движения любых вторичных частиц, родившихся при взаимодействии. Эти параметры определяются с помощью ядра столкновений и предполагают использование данных по дифференциальным поперечным сечениям, причём более подробных, чем при выборе типа взаимодействия.

Если произошёл фотоэффект, и нас не интересует история фотоэлектрона, то мы переходим к следующему фотону из заданной статистики. Если же произошло комптоновское рассеяние, то мы вынуждены рассматривать историю рассеянного фотона, предварительно определив энергию фотона и направление его движения. При комптоновском рассеянии, фотон с первоначальной энергией  $E'$  в результате взаимодействия с электроном передаёт ему часть энергии и изменяет направление своего движения. Поскольку скорость атомных электронов очень мала по сравнению со скоростью света, то можно считать электрон свободным и покоящимся.

Энергия рассеянного фотона и угол рассеяния связаны формулой  $E = \frac{E'}{1 + E'(1 - \cos \theta)/mc^2}$ . Введя обозначения  $\alpha = \frac{E}{m_0c^2}$  и  $\alpha' = \frac{E'}{m_0c^2}$ , получим выражение энергии рассеянного фотона в единицах энергии массы покоя электрона  $\alpha = \frac{\alpha'}{1 + \alpha'(1 - \cos \theta)}$ .

Рассмотрим выбор энергии и направления движения фотона после комптоновского рассеяния. Из приведённого выше выражения следует, что потеря энергии и косинус угла рассеяния жёстко связаны между собой, достаточно разыграть одну из этих величин. Приведем один из возможных алгоритмов, основанный на методе исключения. Плотность распределения энергии после рассеяния  $\alpha$  пропорциональна функции

$$f(x, \alpha') \sim p(x, \alpha') = \frac{x}{\alpha'} + \frac{\alpha'}{x} + \left( \frac{1}{\alpha'} - \frac{1}{x} \right) \left( 2 + \frac{1}{\alpha'} - \frac{1}{x} \right),$$

при  $\frac{\alpha'}{1+2\alpha'} < x < \alpha'$ .

Следовательно, справедливо соотношение

$$p(x, \alpha') \leq 1 + 2\alpha' + \frac{1}{1 + 2\alpha'}$$

Величину  $\alpha$  определяем с помощью метода исключения:

- a.** выберем два значения  $\gamma_1, \gamma_2$  случайной величины  $\gamma$  равномерно распределённой на интервале  $(0, 1)$ ;
- b.** вычислим  $x = \frac{\alpha'(1+2\alpha'\gamma_1)}{1+2\alpha'}$ , и отсюда находим  $p(x, \alpha')$
- c.** если при этом  $\gamma_2 \left( 1 + 2\alpha' + \frac{1}{1+2\alpha'} \right) < p(x, \alpha')$ , то  $\alpha = x$ , иначе снова выполняется п. а) и т. д.

После определения энергии, определяют направление движения после взаимодействия. Азимутальный угол рассеяния выбирается из равномерного распределения по схеме приведённой выше, а косинус угла рассеяния рассчитывается по формуле  $\mu_s = \cos \theta_s = 1 - 1/\alpha + 1/\alpha'$ .

В декартовой системе координат новое направление движения задаётся тремя направляющими косинусами

$$\vec{\Omega} = \vec{i} \cos x + \vec{j} \cos y + \vec{k} \cos z \text{ или } \vec{\Omega} = \vec{i}\omega_1 + \vec{j}\omega_2 + \vec{k}\omega_3.$$

Формулы перехода от  $\vec{\Omega}'$  к  $\vec{\Omega}$  выглядят следующим образом:

$$\begin{aligned} \omega_3 &= \omega'_3 \mu_s + \sqrt{(1 - \mu_s^2) [1 - (\omega'_3)^2]} \cos \psi_s; \\ \omega_2 &= \frac{\omega'_2 (\mu_s - \omega'_3 \omega_3) + \omega'_1 \sin \psi \sqrt{(1 - \mu_s^2) [1 - (\omega'_3)^2]}}{1 - (\omega'_3)^2}; \\ \omega_1 &= \frac{\omega'_1 (\mu_s - \omega'_3 \omega_3) - \omega'_2 \sin \psi \sqrt{(1 - \mu_s^2) [1 - (\omega'_3)^2]}}{1 - (\omega'_3)^2}. \end{aligned}$$

Разыгрывая длину свободного пробега после первого столкновения

$$L_2 = -\frac{\ln \xi}{\Sigma(E_2)}$$

находим точку  $\vec{r}_2 = \vec{r}_1 + L_2 \vec{\Omega}_2$

Координаты точки  $(n + 1)$ -го взаимодействия находятся в декартовой системе координат по формулам:

$$x_{n+1} = x_n + L_{n+1} \omega_{1,n};$$

$$y_{n+1} = y_n + L_{n+1} \omega_{2,n};$$

$$z_{n+1} = z_n + L_{n+1} \omega_{3,n}.$$

Зная энергию рассеянного фотона можно вычислить сечение его последующего взаимодействия с веществом (полное или комптоновского взаимодействия).

В процессе комптоновского взаимодействия фотоны рассеиваются под всевозможными углами ( $0 \leq \theta_s \leq \pi$ ), и дифференциальное угловое сечение рассеяния (т.е. отнесённое к единице телесного угла) при этом, рассчитывается на основании квантовой электродинамики и выражается формулой Клейна-Нишины-Тамма:

$$\sigma_C(\alpha', \theta_s) = \frac{Zr_e^2}{2} [1 + \alpha'(1 - \mu_s)]^{-2} \left[ 1 + \mu_s^2 + \frac{(\alpha')^2 (1 - \mu_s)^2}{1 + \alpha'(1 - \mu_s)} \right], \quad (6)$$

где  $Z$  – атомный номер материала среды;  $r_e$  – классический радиус электрона.

Для фотонов высоких энергий наблюдается преимущественное рассеяние вперед, а с уменьшением энергии дифференциальное сечение имеет все более плавную угловую зависимость, и в пределе при  $\alpha' \rightarrow 0$  из выражения (6) получаем классическую формулу Томсона ( $\text{см}^2/\text{ср}$ ):

$$\sigma_s(\theta_s) = Zr_e^2 (1 + \cos^2 \theta_s) / 2.$$

Интегрирование формулу (6) по телесному углу даёт выражение (согласно теории Клейна-Нишины-Тамма) для полного сечения комптоновского взаимодействия фотонов со свободными электронами имеет вид

$$\sigma_C(\alpha') = 2\pi Zr_e^2 \left\{ \frac{1 + \alpha'}{\alpha'^2} \left[ \frac{2(1 + \alpha')}{1 + 2\alpha'} - \frac{\ln(1 + 2\alpha')}{\alpha'} \right] + \frac{\ln(1 + 2\alpha')}{2\alpha'} - \frac{1 + 3\alpha'}{(1 + 2\alpha')^2} \right\}. \quad (7)$$

#### 1.4. Локальная оценка потока

##### Оценки функционалов в методе Монте-Карло

Рассмотрим, какие случайные величины (оценки) следует ввести в шестимерном фазовом пространстве траекторий  $\Gamma$ , чтобы их математические ожидания равнялись конкретному функционалу.

Пусть необходимо рассчитать линейный функционал

$$I_g = (\psi, g) = \iint_{\Gamma} \psi(\vec{r}, \vec{E}) g(\vec{r}, \vec{E}) d\vec{r} d\vec{E}, \quad (8)$$

где  $g(\vec{r}, \vec{E})$  – функция отклика детектора,  $\psi(\vec{r}, \vec{E})$  – плотность столкновений, удовлетворяющая интегральному уравнению

$$\psi(\vec{r}, \vec{E}) = q_1(\vec{r}, \vec{E}) + \iint K(\vec{r}', \vec{E}'; \vec{r}, \vec{E}) \psi(\vec{r}', \vec{E}') d\vec{r}' d\vec{E}'.$$

Далее предполагается, что любая траектория в рассматриваемых процессах случайного блуждания с вероятностью единица заканчивается после конечного числа соударений.

Построим процесс случайных блужданий (цепь Маркова) с параметрами  $p_1(x)$ ,  $p(x', x)$ ,  $p(x)$ , удовлетворяющий следующим условиям

$$\left. \begin{aligned} p_1(x) &\neq 0, \text{ при } q_1(x) \neq 0; \\ p(x', x) &\neq 0, \text{ при } K(x', x) \neq 0; \\ p(x) &\neq 0, \text{ при } g(x) \neq 0. \end{aligned} \right\}$$

Таким образом, траектории должны начинаться в тех точках, где  $q_1(x) \neq 0$ , а при переходе  $x' \rightarrow x$  попадать в те точки где  $K(x', x) \neq 0$ .

**Определение. Марковский процесс**, процесс без последствий, – случайный процесс, эволюция которого после любого заданного момента времени  $t$  не зависит от эволюции предшествующей  $t$ , при условии, что значение процесса в этот момент фиксировано (короче: «будущее» и «прошлое» процесса не зависят друг от друга при известном «настоящем»)

**Определение. Марковская цепь** – марковский процесс, с конечным или счётным множеством состояний.



## Оценка по столкновениям

Такая оценка рассчитывается во всех точках траектории  $\alpha = (x_1, \dots, x_k)$  и имеет вид

$$\eta(\alpha) = \sum_{m=1}^k W_m(\alpha) g(x_m), \quad (9)$$

где  $W_m$  – вес частицы при  $m$ -м столкновении, определяется из выражения

$$W_m(\alpha) = \frac{q_1(x_1)}{p_1(x_1)} W(x_1, x_2) \dots W(x_{m-1}, x_m), \quad (10)$$

$$\text{где } W(x', x) = \begin{cases} K(x', x)/p(x', x), & p(x', x) \neq 0; \\ 0, & p(x', x) = 0. \end{cases}$$

В теории метода Монте-Карло доказано, что  $M\eta(\alpha)$  – математическое ожидание случайной величины  $\eta(\alpha)$  является несмещённой оценкой функционала  $I_g = (\psi, g)$ .

**Определение. Несмещённая оценка** – статистическая оценка, математическое ожидание которой совпадает с оцениваемой величиной.

**Определение.** Если при расчёте по методу Монте-Карло точно моделируются реальные вероятностные законы, то такой способ расчёта называется аналоговым.

При аналоговом моделировании траектории частиц и при отсутствии деления в реакциях взаимодействия, учитывая, что  $p_1(x) = q_1(x)$ ;  $p(x', x) = K(x', x)$ ;  $p(x) = \Sigma_a(x)/\Sigma(x)$ , выражение для случайной величины  $\eta(\alpha)$  принимает следующий вид

$$\eta(\alpha) = \sum_{m=1}^k g(x_m). \quad (11)$$

Если, например, необходимо определить число реакций с сечением  $\Sigma_i(x)$  в некотором объёме  $V$ , тогда функция отклика детектора

$$g(x) = v_V(x) \frac{\Sigma_i(x)}{\Sigma(x)},$$

где  $v_V(x)$  – индикаторная функция объёма  $V$ , которая имеет вид

$$v_V(x) = \begin{cases} 1, & x \in V; \\ 0, & x \notin V. \end{cases}$$

Следовательно, выражение для оценки  $\eta(\alpha)$  принимает вид

$$\eta(\alpha) = \sum_{m=1}^k \frac{\Sigma_i(x_m)}{\Sigma(x_m)} v_V(x_m). \quad (12)$$

## Локальная оценка потока

Рассмотренная выше оценка  $\eta(\alpha)$  даёт средние значения для функций  $\psi(\vec{r}, E)$ ,  $\varphi(\vec{r}, E)$  и функционалов от них по всей области регистрации частиц. Если градиент поля излучения достаточно велик, то чтобы уменьшить погрешность, связанную с усреднением, размеры области приходится

уменьшать. Действительно детектор малых размеров практически не возмущает поле излучения, но обладает малой эффективностью, поэтому уменьшается вероятность попадания частицы в данную область, следовательно, увеличивается статистическая погрешность оценки. В таких случаях часто прибегают к локальным оценкам, позволяющим стягивать область детектирования в точку.

Рассмотрим, для простоты, распространение частиц в среде без размножения и поглощения, так как эти реакции учитываются с помощью весовых множителей. Пусть требуется оценить плотность потока частиц в точке фазового пространства  $x^* = \{\vec{r}^*, E^*, \vec{\Omega}^*\}$ . Подставим эту точку в уравнение для плотности столкновений, приравняв для упрощения выражения  $q_1(x^*) = 0$ :

$$\psi(x^*) = \int K(x', x^*) \psi(x') dx'. \quad (13)$$

Поделив обе части выражения (13) на  $\Sigma_s(x^*)$ , получим

$$\varphi(x^*) = \int \frac{K(x', x^*)}{\Sigma_s(x^*)} \psi(x') dx'. \quad (14)$$

Формально функция  $\varphi(x^*)$  представлена в виде функционала от плотности столкновений  $\psi(x')$  с функцией отклика детектора, равной  $g(x', x^*) = \frac{K(x', x^*)}{\Sigma_s(x^*)}$ . Для расчёта  $\varphi(x^*)$  выберем оценку по столкновениям (9) и получим что математическое ожидание случайной величины

$$\eta_1(\alpha) = \sum_{m=1}^k \frac{W_m(\alpha)}{\Sigma_s(x^*)} K(x_m, x^*) \quad (15)$$

равно плотности потока рассеянного излучения в точке  $x^*$ . Величину  $W_m$ -часто называют весом  $m$ -го рассеяния. Она представляет собой условную вероятность «выживания» частицы испытавшей рассеяния в точках  $(x_1, \dots, x_m)$ . Определение плотности потока нерассеянного излучения в точке  $x^*$ , т.е. величины  $q_1(x^*)/\Sigma_s(x^*)$ , как правило, не представляет особого труда и вычисляется аналитически с использованием выражения для источника первых столкновений  $q_1(\vec{r}^*, \vec{E}) = \int d\vec{r}' q(\vec{r}', \vec{E}) \cdot T(\vec{r}', \vec{r}^* | \vec{E})$ .

Ядро  $K(x_m, x^*)$  содержит  $\delta$ -функцию, для устранения которой достаточно проинтегрировать (14) по некоторой области направлений  $\Delta\vec{\Omega}_i^*$ . Для локальной оценки плотности потока рассеянных фотонов (без учета когерентного рассеяния), движущихся в интервале  $\Delta\vec{\Omega}_i^*$  с энергией в интервале  $\Delta E_i^*$ , в точке  $\vec{r}^*$  окончательное выражение имеет вид

$$\eta_1(\alpha) = \sum_{m=1}^k W_m(\alpha) \frac{\exp[-\tau(\vec{r}_m, \vec{r}^*, E_m^*)] \sigma_C(\vec{r}_m, E_m \rightarrow E_m^*, (\vec{\Omega}_m \cdot \vec{\Omega}_m^*))}{(\vec{r}_m - \vec{r}^*)^2} \frac{\sigma_C(\vec{r}_m, E_m)}{\sigma_C(\vec{r}_m, E_m)} \Delta(E_m^*, \Delta E_i^*) \Delta(\vec{\Omega}_m^*, \Delta\vec{\Omega}_i^*), \quad (16)$$

где  $\tau(\vec{r}_m, \vec{r}^*, E_m^*) = \int_{\vec{r}_m \rightarrow \vec{r}^*} \Sigma(\vec{r}'(t), E_m^*) dt$  – оптическое расстояние между точками  $\vec{r}_m$  и  $\vec{r}^*$  для частицы с энергией  $E_m^*$ ;

$$\Delta(x, \Delta x) = \begin{cases} 1, & x \in \Delta x; \\ 0, & x \notin \Delta x; \end{cases}$$

$\sigma_C(\vec{r}_m, E_m \rightarrow E_m^*, (\vec{\Omega}_m \cdot \vec{\Omega}_m^*))$ ,  $\sigma_C(\vec{r}_m, E_m)$  – дифференциальное угловое сечение рассеяния и интегральное (полное) сечения комптоновского рассеяния.

Выражение (16) представляет собой локальную оценку плотности потока частиц. Если точка  $\vec{r}^*$  не принадлежит области переноса излучения, то такая оценка имеет конечную дисперсию. В общем случае ее дисперсия расходится из-за множителя  $1/(\vec{r}_m - \vec{r}^*)^2$ . Это не является препятствием для ее использования в методе Монте-Карло, поскольку существования математического ожидания обеспечивает действие закона больших чисел. Сходимость среднего арифметического  $\bar{\eta}_N$  ( $N$  – число историй) имеет порядок  $N^{-1/3}$ , а не  $N^{-1/2}$ , как это имеет место при конечной дисперсии. Иногда возможно появление выбросов в результатах расчётов, связанных с близостью некоторых точек столкновения к точке детектирования  $\vec{r}^*$ .

Математическое ожидание случайной величины  $\eta_1(\alpha)$  равно плотности потока рассеянного излучения в точке  $x^*$

$$M\eta_1(\alpha) = \frac{1}{N} \sum_{l=1}^N \eta_l(\alpha_l) = \varphi(x^*), \quad (17)$$

где  $N$  – статистика (число усредняемых траекторий).

Локальная оценка не позволяет рассчитывать угловую плотность потока в точке  $\vec{r}^*$  непосредственно в заданном направлении  $\vec{\Omega}^*$ . Этого недостатка лишена двойная локальная оценка, функцию отклика детектора для которой берут в виде

$$g_1(x', x^*) = \left( \int K(x', x'') K(x'', x^*) dx'' \right) / \sum_s x^*. \quad (18)$$

Поясним смысл этой оценки. Если при локальной оценке производится, по существу, суммирование в точке детектирования виртуальных вкладов нерассеянного излучения непосредственно от точек столкновения, то при двойной локальной оценке суммируются виртуальные вклады в точке детектирования через промежуточную точку рассеяния.

Интеграл в выражении (18) берется по лучу  $\vec{r}''(t) = \vec{r}^* - \vec{\Omega}^* t$ ,  $t > 0$ . Его можно оценить по одному случайному узлу  $\vec{\rho}'$ , который можно положить равным  $\vec{\rho}' = \vec{r}^* - \vec{\Omega}^* L^*$ , где  $L^*$  – случайная длина свободного пробега из  $\vec{r}^*$  в направлении обратном  $\vec{\Omega}^*$ . Математическое ожидание случайной величины

$$\eta_2(\alpha) = \sum_{m=1}^k W_m(\alpha) g_1(x_m, x^*) \quad (19)$$

равно  $M[\eta_2(\alpha)] = \varphi(x^*) - \varphi_1(x^*) - \varphi_0(x^*)$ , где  $\varphi_0(x^*)$ ,  $\varphi_1(x^*)$  – плотность потока нерассеянного и однократно рассеянного излучения соответственно.

### Методы получения случайных чисел с заданным распределением

Получения случайных чисел с заданным распределением называют *розыгрышем* значений случайной величины.

Пусть случайная величина  $\xi$ , определена в интервале  $(a, b)$  и имеет плотность распределения  $f(x)$ . *Выборкой* из плотности  $f(x)$  называется такая последовательность чисел  $\{t_i\}$ ,  $(-\infty < t_i < +\infty)$ , что:

1.  $p(a < t_i \leq b) = \int_a^b f(x) dx$ ,  $(-\infty \leq a < b \leq +\infty)$ ;
2.  $p(a < t_{i_1}, \dots, t_{i_n} \leq b) = \left[ \int_a^b f(x) dx \right]^n$ , при условии, что все  $i_1, \dots, i_n$  различны.

Наиболее распространённый способ получения таких последовательностей является использо-

вание последовательности чисел  $\{\gamma_i\}$  представляющих собой выборочные значения случайной величины  $\gamma$  равномерно распределённой на отрезке  $[0, 1]$ . Такие числа представляют собой выборку из плотности распределения  $f(x) = \begin{cases} 1, & x \in [0, 1]; \\ 0, & x \notin [0, 1]. \end{cases}$

### Метод обратных функций

Пусть случайная величина  $\xi$ , определена в интервале  $(a, b)$  и имеет плотность распределения  $f(x) > 0$ ,  $F(x)$  – функция распределения.

Докажем, что выборочное значение  $t$  случайной величины  $\xi$ , можно найти из уравнения

$$F(t) = \int_a^t f(x) dx = \gamma \text{ или } t = F^{-1}(\gamma), \quad (20)$$

где  $F^{-1}$  – обратная функция.

Функция  $F(x)$  строго возрастает в интервале  $(a, b)$  от  $F(a) = 0$  до  $F(b) = 1$ , поэтому уравнение (20) имеет единственный корень при каждом  $\gamma$ . При этом справедливо равенство вероятностей

$$P\{x < t < x + dx\} = P\{F(x) < \gamma < F(x + dx)\},$$

так как случайная величина  $\gamma$  равномерно распределена в интервале  $(0, 1)$ , то вероятность того, что ее значение окажется внутри интервала  $(F(x), F(x + dx))$ , равна длине этого интервала

$$P\{x < t < x + dx\} = F(x + dx) - F(x) = f(x)dx.$$

Следовательно, выборочное значение  $t$  случайной величины  $\xi$ , имеет плотность распределения  $f(x)$ . Что и требовалось доказать.

Если  $\{\gamma_i\}$  последовательность независимых чисел равномерно распределённых на промежутке  $(0, 1)$ , то числа  $t_i = F^{-1}(\gamma_i)$ ,  $i \in \mathbb{N}$  представляют собой выборку из плотности распределения  $f(x)$  для  $\xi = F^{-1}(\gamma)$ .

В более общем случае, когда плотность распределения удовлетворяет условию  $f(x) \geq 0$  в интервале  $(a, b)$ , то решением уравнения (20) является  $t = \sup x$ , при  $F(x) < \gamma$ .

*Замечание.* Разыгрывание значений непрерывных случайных величин методом обратных функций требует существования аналитического решения уравнения (20) относительно  $t$ .

Рассмотрим дискретную случайную величину  $\xi$ , принимающую значения  $x_i$  с вероятностями  $p_i$ . Выбор значения величины  $\xi$  определим как и ранее  $t = \sup x_i$ , при  $F(x_i) < \gamma$ .

Значению  $\gamma$ , удовлетворяющему неравенству  $\sum_{i=0}^j p_i < \gamma \leq \sum_{i=1}^{j+1} p_i$ ,  $p_0 = 0$ , соответствует значение  $\xi = x_{j+1}$ ,  $j \in \mathbb{N}$

Действительно, если обозначить интервал между  $F(x_j)$  и  $F(x_{j+1})$  через  $\Delta_{j+1}$ , тогда  $p(\xi = x_{j+1}) = p(\gamma \in \Delta_{j+1})$ .

### Метод равновероятных интервалов (табличный метод)

Табличный метод основан на замене моделируемой случайной величины  $\xi$  дискретной случайной величиной  $\xi_1$ , принимающей с равной вероятностью значения  $x_i$ ,  $i = \overline{1, n}$ . До начала основного

расчёта составляется таблица из  $N$  равновероятных значений  $x_i$  случайной величины  $\xi_1$ , функция распределения которой аппроксимирует функцию распределения случайной величины  $\xi$ . Для этого решается уравнение

$$F(x_i) = \int_{-\infty}^{x_i} f(x) dx = \frac{2i-1}{2N}, \quad i = \overline{1, n},$$

и строится таблица значений  $i$  и соответствующих значений  $x_i$ . После этого для определения выборочного значения случайной величины  $\xi_1$  достаточно получить случайное число  $i$  принимающее с равной вероятностью значения от 1 до  $N$ , и выбрать из таблицы  $x_i$ .

### Метод исключения

Метод исключения, так же как и метод равновероятных интервалов, свободен от недостатков метода обратных функций, связанных с необходимостью получения аналитического решения. Метод исключения, так же как и метод равновероятных интервалов, свободен от недостатков метода обратных функций, связанных с необходимостью получения аналитического решения. Кроме того, он не требует и предварительного расчёта таблиц.

Рассмотрим ограниченную на отрезке  $[a, b]$  плотность распределения  $f(x)$ . Пусть  $M = \sup f(x)$  и  $f_1(x) = f(x)/M$ , так что  $0 \leq f_1(x) \leq 1$ . Используя пару равномерно распределённых на отрезке  $[0, 1]$  независимых случайных чисел  $(\gamma_1, \gamma_2)$ , найдем координаты случайной точки  $Q = \{a + \gamma_1(b - a), \gamma_2\}$ , лежащей в прямоугольнике с основанием  $(b - a)$  и высотой 1. Если эта точка окажется под кривой  $f_1(x)$ , т. е. если  $\gamma_2 < f_1[a + (b - a)\gamma_1]$ , то  $t = a + (b - a)\gamma_1$ , принимается в качестве значения случайной величины с плотностью распределения  $f(x)$ . В противном случае пара  $(\gamma_1, \gamma_2)$  отбрасывается, выбирается следующая пара  $(\gamma_3, \gamma_4)$  и все повторяется. Вычисленные по такому алгоритму значения  $t$  распределены с условной плотностью вероятности  $f(t | \gamma_2 < f_1(t)) = \int_0^{f_1(t)} g(t | \gamma_2) d\gamma_2 \cdot \left[ \int_a^b \left( \int_0^{f_1(t)} g(t | \gamma_2) d\gamma_2 \right) dt \right]^{-1}$ . Учитывая, что совместная плотность распределения  $g(t, \gamma_2)$  имеет вид

$$g(t, \gamma_2) = \begin{cases} 1/(b-a), & t \in [a, b], \quad \gamma_2 \in [0, 1] \\ 0, & t \notin [a, b], \quad \gamma_2 \notin [0, 1] \end{cases}$$

Условная плотность распределения  $g(t | \gamma_2)$  совпадает с выражением для  $g(t, \gamma_2)$ , поэтому окончательно получаем

$$f(t | \gamma_2 < f_1(t)) = \frac{1}{b-a} \int_0^{f_1(t)} d\gamma_2 \cdot \left[ \frac{1}{b-a} \int_a^b dt \left( \int_0^{f_1(t)} d\gamma_2 \right) \right]^{-1} = f_1(t) \left[ \int_a^b f_1(t) dt \right]^{-1} = f(t)$$

что и требовалось доказать.

## 2. Постановка задачи

Плоский изотропный источник  $\gamma$ -квантов с энергиями  $E_0 = 2.5$  МэВ в виде прямоугольника накрыт алюминиевым цилиндром. Геометрические центры основания цилиндра и прямоугольника совпадают. Радиус цилиндра  $R_{\text{цил}} = 30$  см, высота цилиндра  $H_{\text{цил}} = 20$  см. Стороны прямоугольника равны соответственно  $a = 40$  см,  $b = 15$  см.

- Построить точки рождения частиц и нарисовать «ёжика» каждая игла, которого представляет собой отрезок соединяющий точку рождения  $\gamma$ -кванта с точкой его первого взаимодействия.
- Методом локальной оценки потока вычислить распределения плотности потока рассеянных квантов вдоль оси симметрии задачи, образующей цилиндра и вдоль диаметров верхнего основания параллельных сторонам прямоугольника  $a$  и  $b$ .

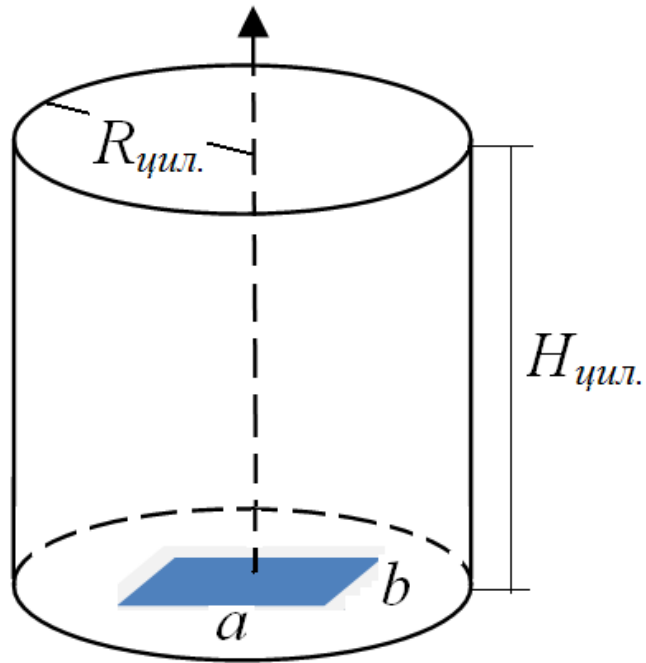


Рис. 1

### 3. Результаты вычислений

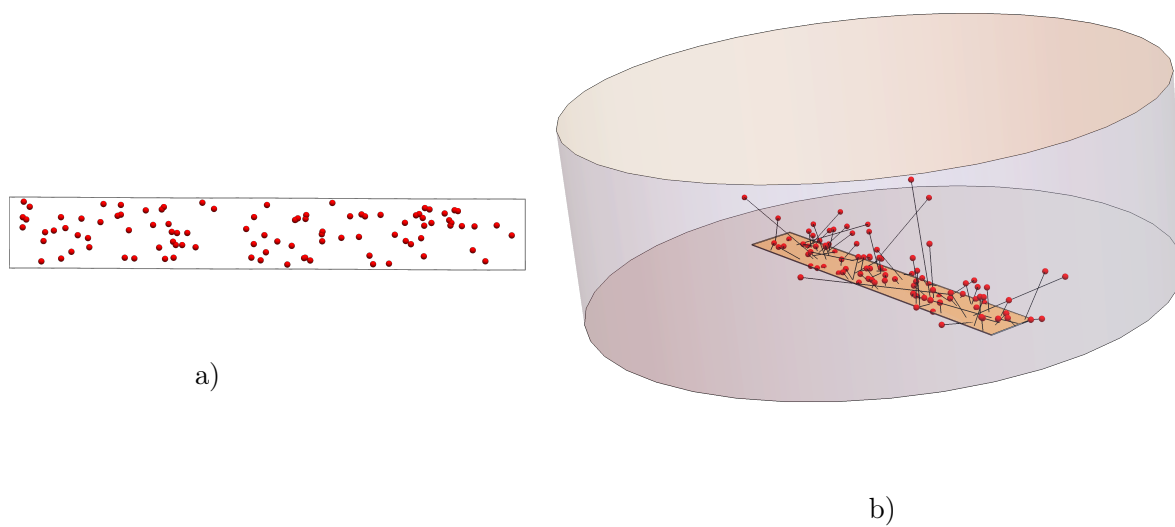


Рис. 2. а) Точки рождения  $\gamma$ -квантов, б) «Ёжик»,  $N = 200$

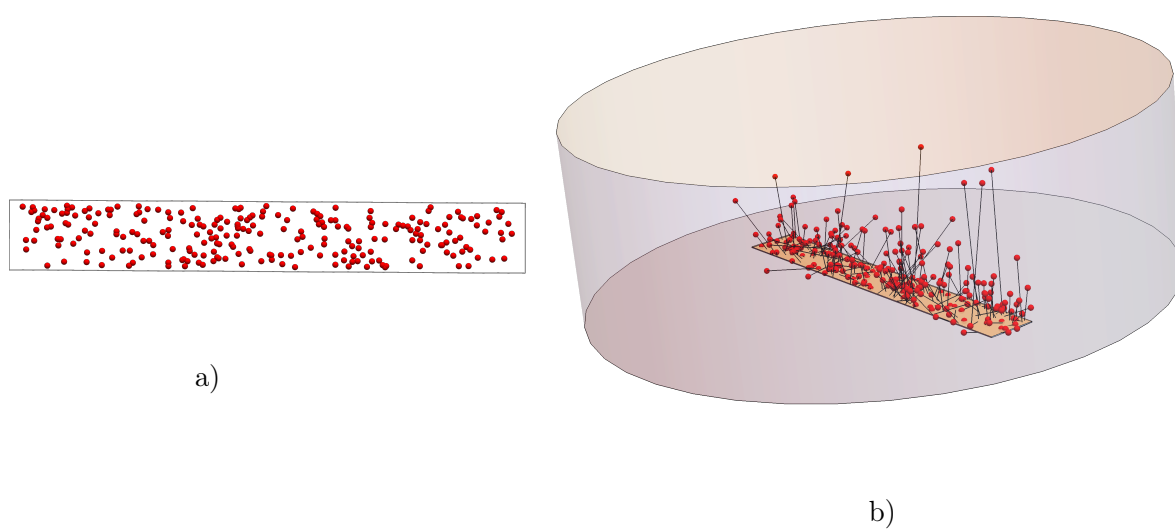


Рис. 3. а) Точки рождения  $\gamma$ -квантов, б) «Ёжик»,  $N = 500$

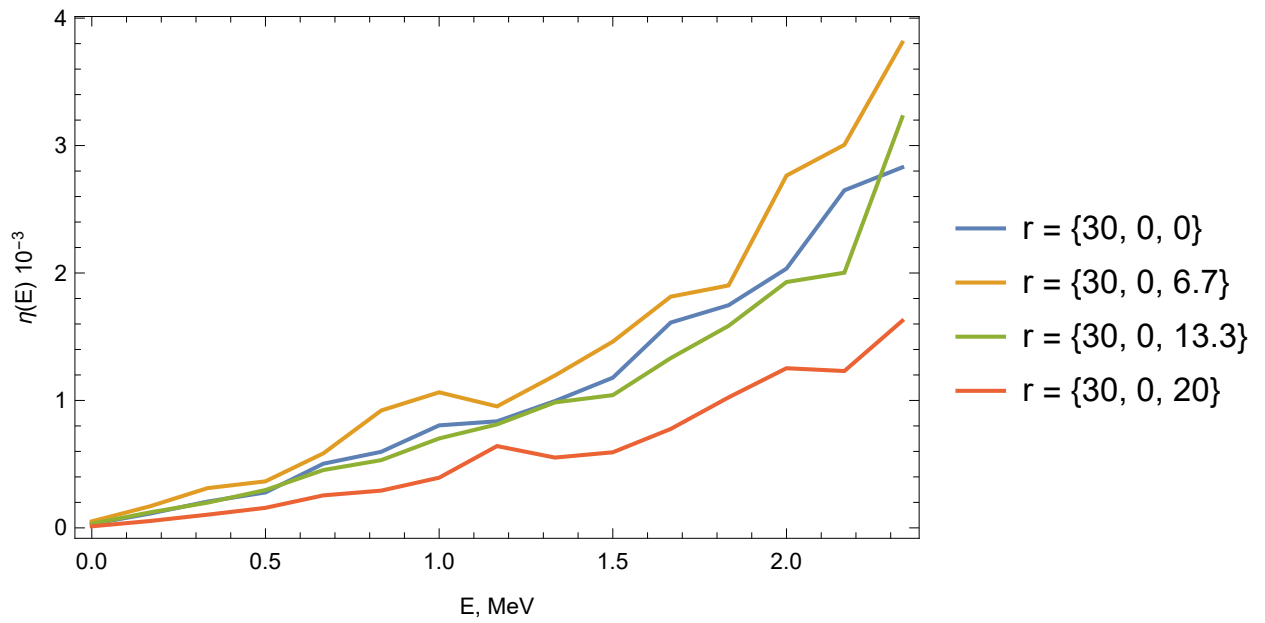


Рис. 4. Распределения плотности потока рассеянных квантов при детекторах, расположенных вдоль направляющей,  $N = 10000$

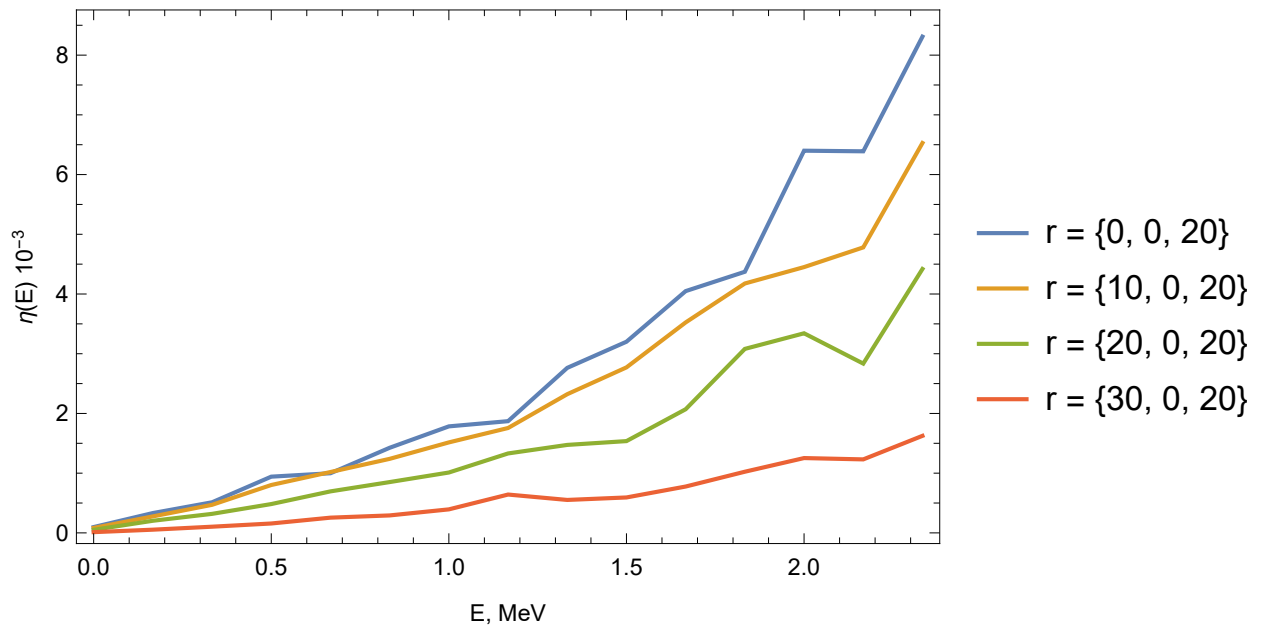


Рис. 5. Распределения плотности потока рассеянных квантов при детекторах, расположенных вдоль радиуса, параллельного стороне  $a$  прямоугольника,  $N = 10000$



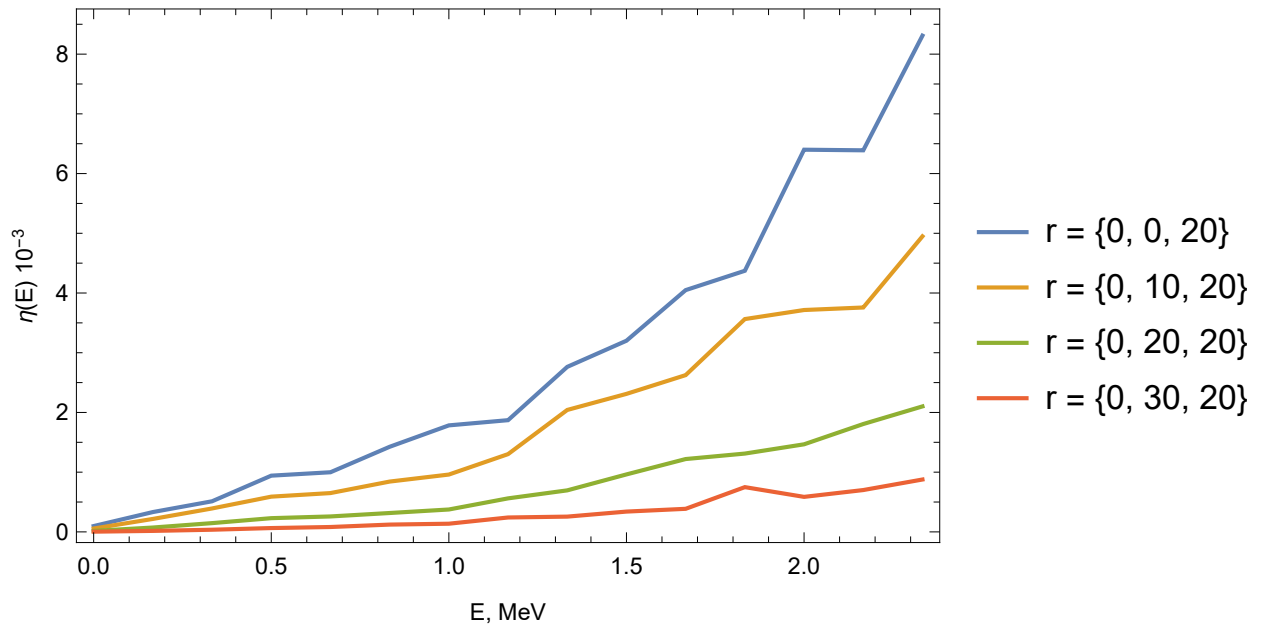


Рис. 6. Распределения плотности потока рассеянных квантов при детекторах, расположенных вдоль радиуса, параллельного стороне  $b$  прямоугольника,  $N = 10000$

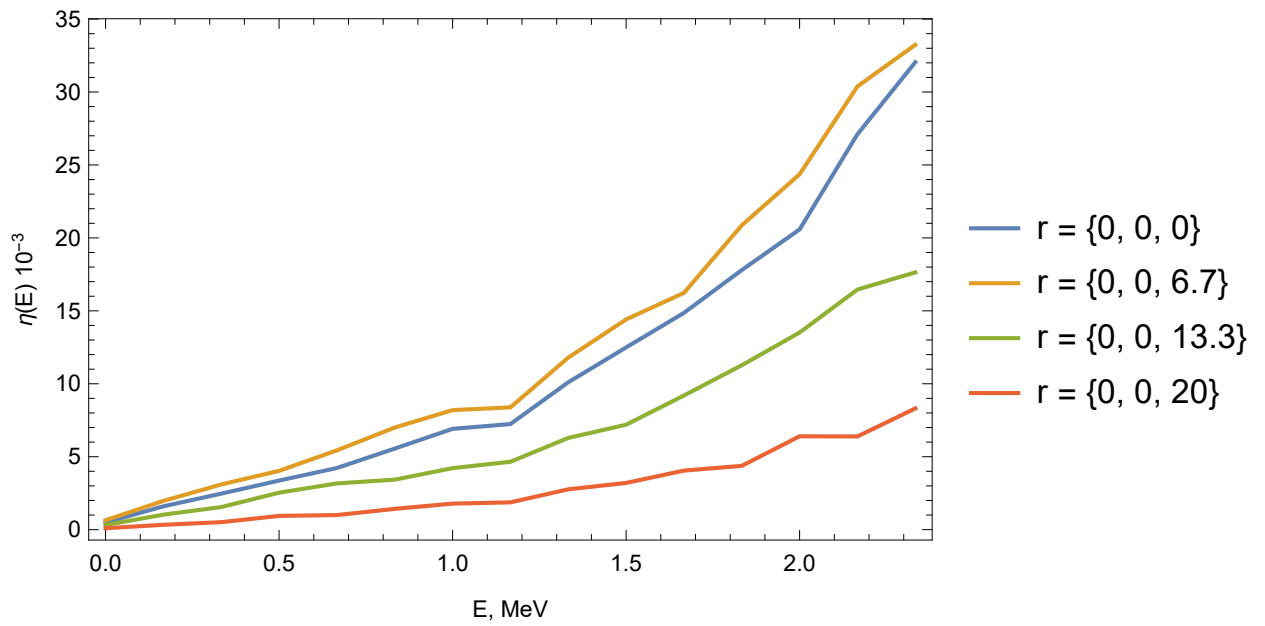


Рис. 7. Распределения плотности потока рассеянных квантов при детекторах, расположенных вдоль оси цилиндра,  $N = 10000$

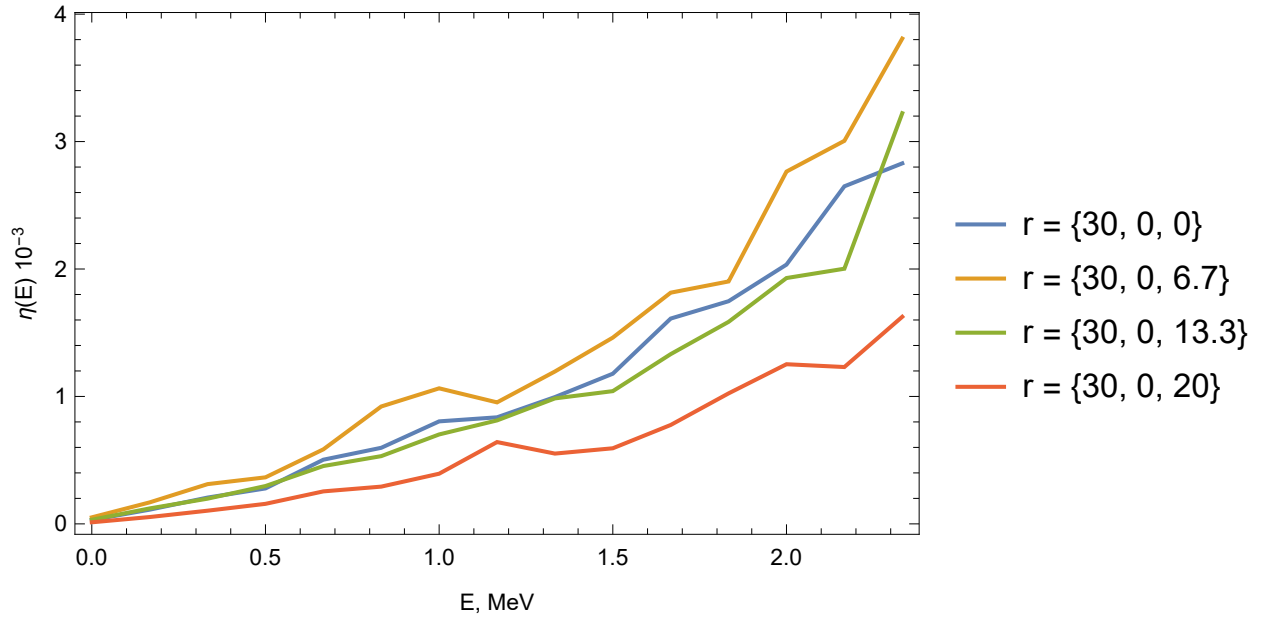


Рис. 8. Распределения плотности потока рассеянных квантов при детекторах, расположенных вдоль направляющей,  $N = 50000$

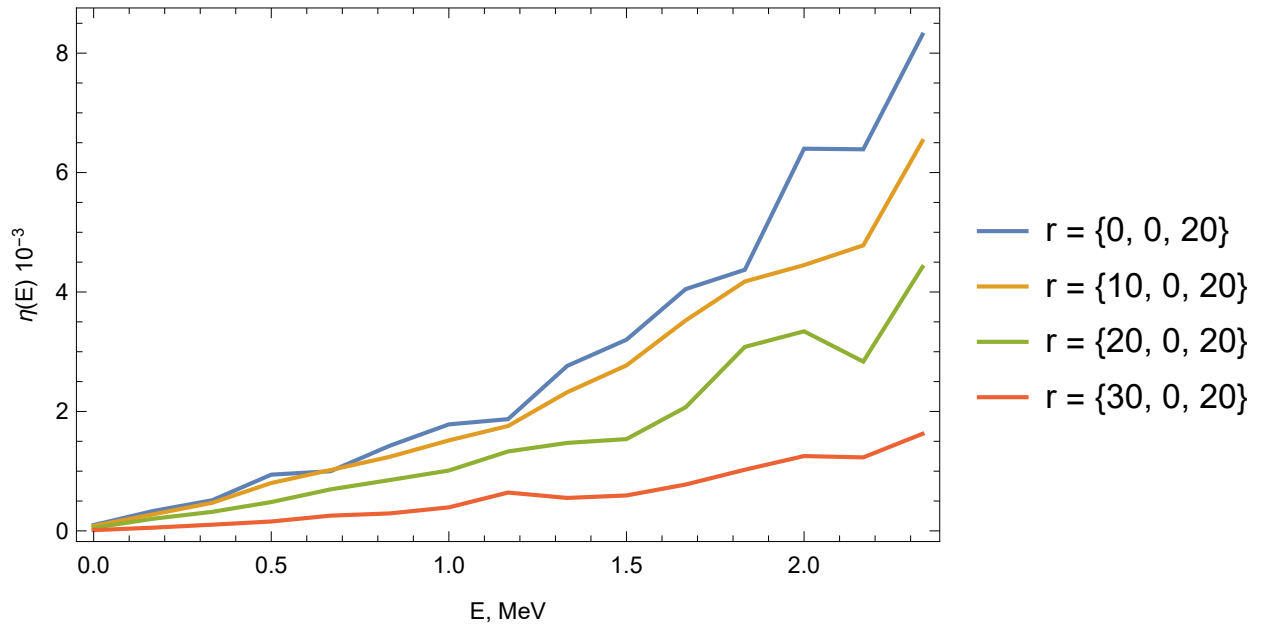


Рис. 9. Распределения плотности потока рассеянных квантов при детекторах, расположенных вдоль радиуса, параллельного стороне  $a$  прямоугольника,  $N = 50000$

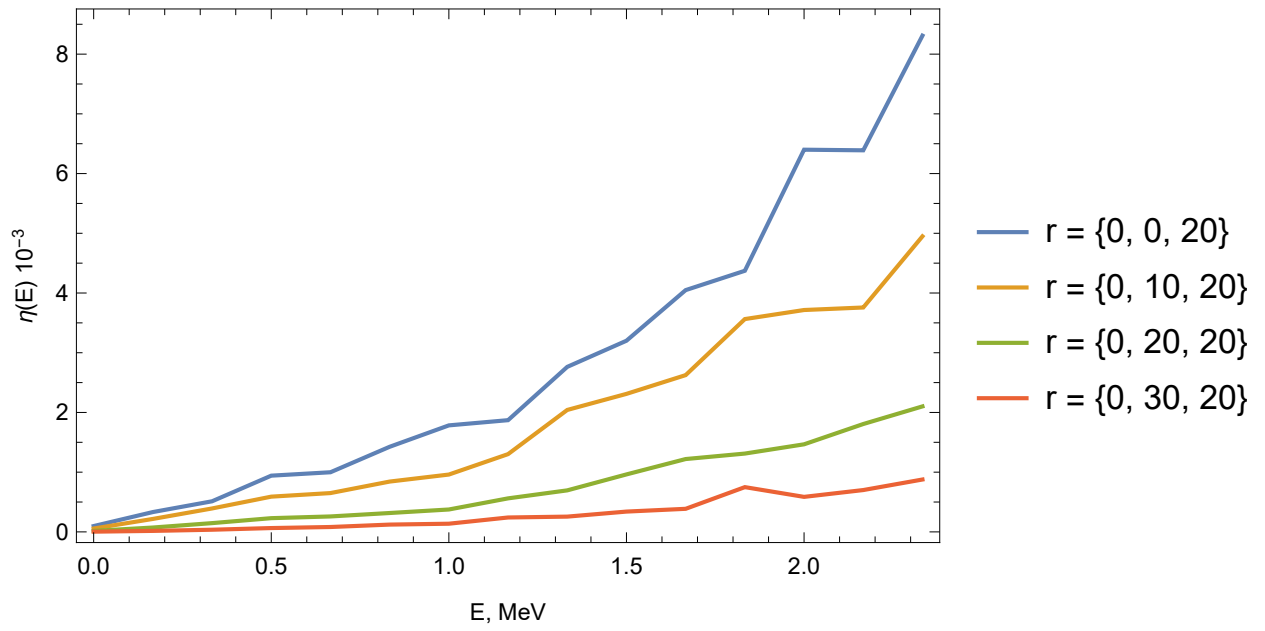


Рис. 10. Распределения плотности потока рассеянных квантов при детекторах, расположенных вдоль радиуса, параллельного стороне  $b$  прямоугольника,  $N = 50000$

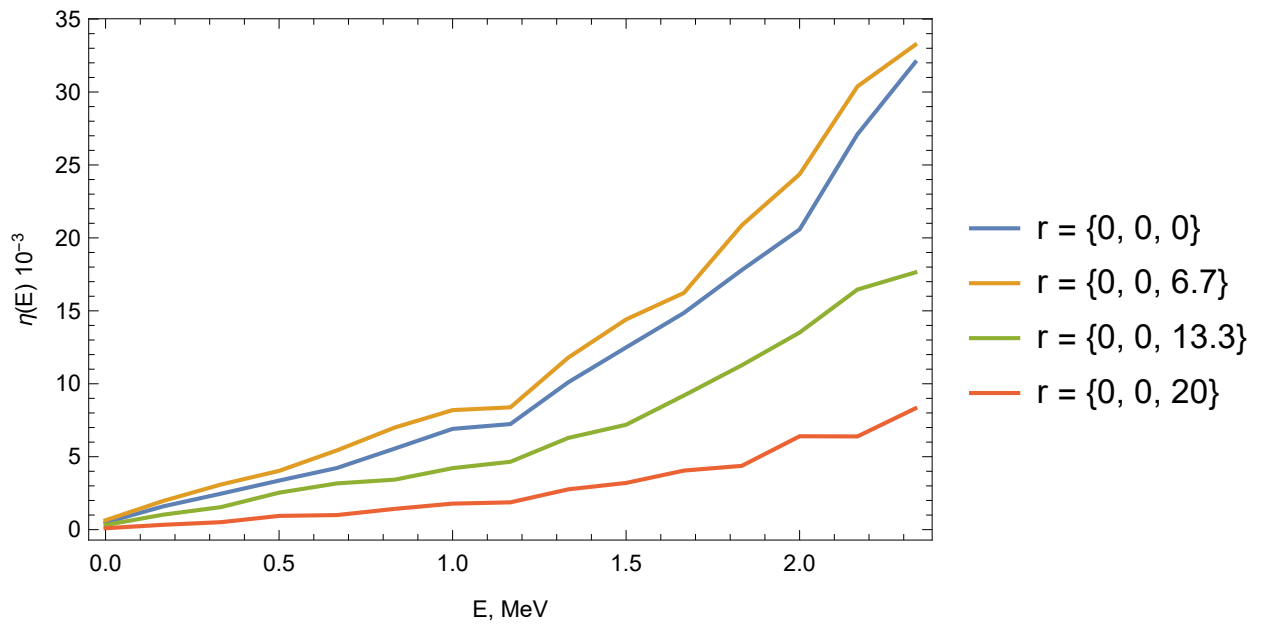


Рис. 11. Распределения плотности потока рассеянных квантов при детекторах, расположенных вдоль оси цилиндра,  $N = 50000$

#### 4. Вывод

Методом Монте-Карло получены распределения плотности потоков рассеянных квантов при различных расположениях детекторов и различных количествах  $\gamma$ -квантов  $N$ . Наибольшая плотность потока наблюдается на детекторе с координатами  $(0, 0, \frac{20}{3})$ , наименьшая – на детекторах, расположенных вблизи верхнего основания цилиндра.